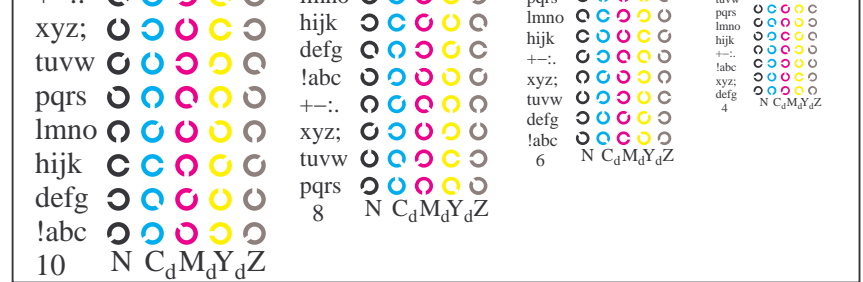


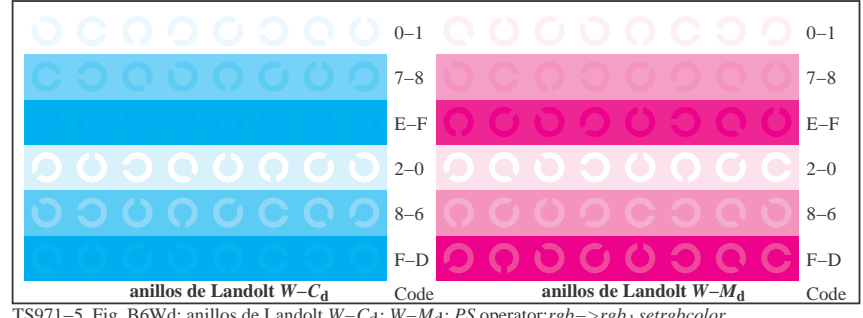
TS971-1, Fig. B4Wd: 16 equidistant pasos  $W-C_d$ ;  $W-M_d$ ;  $W-Y_d$ ;  $W-N$ ;  $rgb/cmy0 \rightarrow rgb_d$  setrgbcolor

+-.:	Q	O	O	Q	C	lmno	C	O	C	O	O	pqrs	O	O	O	O	tuvw	O	O	O	O		
xyz;	O	O	O	O	O	hijk	O	O	O	O	O	lmno	O	O	O	O	pqrs	O	O	O	O		
tuvw	O	O	O	O	O	defg	O	O	O	O	O	hijk	O	O	O	O	hijk	O	O	O	O		
pqrs	O	O	O	O	O	!abc	O	O	O	O	O	+-.:	O	O	O	O	+-.:	O	O	O	O		
lmno	O	O	O	O	O	xyz;	O	O	O	O	O	xyz;	O	O	O	O	tuvw	O	O	O	O		
hijk	C	C	O	O	O	tuvw	O	O	O	O	O	defg	O	O	O	O	defg	O	O	O	O		
defg	O	O	O	O	O	!abc	O	O	O	O	O	6	N	C_d	M_d	Y_d	Z	N	C_d	M_d	Y_d	Z	
!abc	O	O	O	O	O	10	N	C_d	M_d	Y_d	Z	8	N	C_d	M_d	Y_d	Z	4	N	C_d	M_d	Y_d	Z

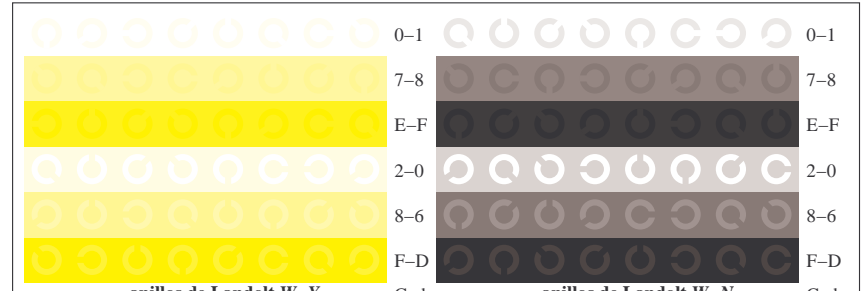
TS971-3, Fig. B5Wd: codigo y Landolt anillos  $N$ ;  $C_d$ ;  $M_d$ ;  $Y_d$ ;  $Z$ ;  $PS$  operator:  $rgb \rightarrow rgb_d$  setrgbcolor



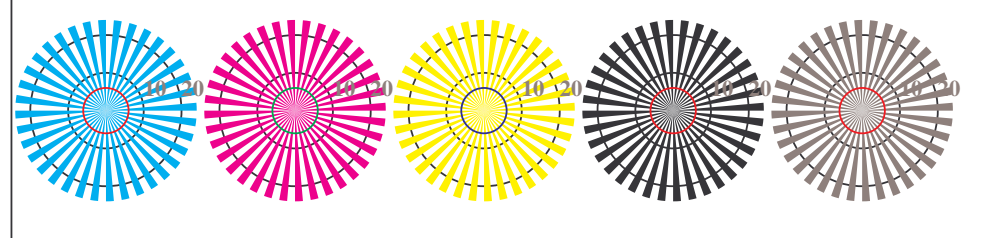
TS971-3, Fig. B5Wd: codigo y Landolt anillos  $N$ ;  $C_d$ ;  $M_d$ ;  $Y_d$ ;  $Z$ ;  $PS$  operator:  $rgb \rightarrow rgb_d$  setrgbcolor



TS971-5, Fig. B6Wd: anillos de Landolt  $W-C_d$ ;  $W-M_d$ ;  $PS$  operator:  $rgb \rightarrow rgb_d$  setrgbcolor



TS971-7, Fig. B7Wd: anillos de Landolt  $W-Y_d$ ;  $W-N$ ;  $PS$  operator:  $rgb \rightarrow rgb_d$  setrgbcolor



rejillas radial  $W-C_d$  rejillas radial  $W-M_d$  rejillas radial  $W-Y_d$  rejillas radial  $W-N$  rejillas radial  $W-Z$

TS970-5, Fig. B2Wd: rejillas radial  $W-C_d$ ;  $W-M_d$ ;  $W-Y_d$ ;  $W-N$ ;  $PS$  operator:  $rgb \rightarrow rgb_d$  setrgbcolor



TS970-7, Fig. B3Wd: CIE 14 colores del test y 2 + 16 pasos de gris (sf);  $PS$  operator:  $rgb/cmy0 \rightarrow rgb_d$  setrgbcolor